

## 蒸気圧浸透圧法

上 出 健 二\*

## 1. はじめに

蒸気圧浸透圧法(Vapor Pressure Osmometry, VPOと略記)は溶液中の溶媒の活動度 $a_o$ を測定する方法の一つで、蒸気圧降下現象を利用したものである。すなわち、それ自身は蒸気圧を全く示さない溶質を溶解した溶液の液滴と純溶媒の液滴を同時に同じ温度 $T_o$ の純溶媒の飽和蒸気圧 $P_o(T_o)$ の霧囲気下に静置した場合を考えてみよう。溶液滴表面への溶媒蒸気の凝縮速度は溶液滴からの蒸発速度より大きい(以降、これ等の差を単に凝縮速度とする)。このため、溶液滴の温度 $T$ は霧囲気の温度、したがって溶媒滴の温度より高くなる。温度差(厳密には温度差の定常値) $T-T_o$ は溶液成分の活動度に関係するから((9)式参照)、温度差を測定すれば溶液の熱力学的性質や溶質の分子量 $M_1$ が決定できる。これが蒸気圧浸透圧法の基本原理である。図1にこの方法の概念図を示す。

VPOは1913年に英国のReedが“lowering of vapour pressure - a simple demonstration”という表題の論文<sup>1)</sup>の中で、塩水溶液とアニリンのエーテル溶液中の溶媒の蒸気圧が純溶媒のそれよりも低いことを、一つは溶液に、他の一つは溶媒に浸漬させた2個の湿球温度計の

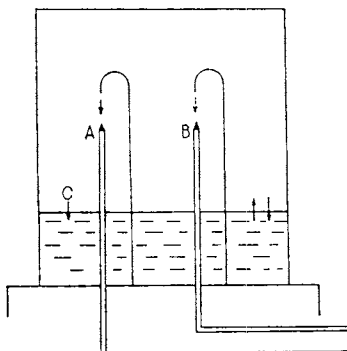


図1 蒸気圧浸透圧法の概念図

A: 溶液滴, B: 溶媒滴, C: 純溶媒

\* 旭化成工業(株)繊維加工研究所：〒569 大阪府高槻市八丁畷町11-7

Kenji Kamide, Textile Research Laboratory,  
Asahi Chemical Industry Co. Ltd., Takatsuki,  
Osaka-Fu 569

温度差として示したのが始まりである。その後、Hill<sup>2)</sup>, Baldes<sup>3)</sup>, Bradyら<sup>4)</sup>によってこの原理に従う装置が工夫され、Taylorら<sup>5)</sup>が有機化合物の分子量決定に応用して以来、分子量測定法として普及した。この方法が高分子化合物の分子量決定に利用され始めたのは1960年代であって、測定操作が比較的簡単で、しかも再現性の高い結果を与える市販装置の開発に負う所が多い。

VPOは任意の温度で測定できるから、沸点上昇法と異なり高温測定の必要はなく、従って測定過程における分子量低下を避けることができる。しかも、試料量が少量ですみ、測定が迅速に行なえるという特徴を持つ。VPOは割合に長い発展の歴史の割には、その測定原理や実験操作法が正確に記述された専門書が洋の東西を問わず皆無である。これがVPOの正しい理解と一層の普及の重大な障害になっている。本稿ではVPOの理論的な裏付けと操作法の基本を中心に紹介する。

## 2. 測定原理

2.1 液滴間の温度差の経時変化<sup>6,7)</sup>

ある時刻 $t$ において、温度 $T_o$ (K)の純溶媒の一滴と、温度 $T$ (K)の溶媒 $n_o(t)$ モルと溶質 $n_1$ (一定)モルを含む溶液の一滴(溶液滴)が温度 $T_o$ の溶媒の飽和蒸気(蒸気圧を $P_o(T_o)$ (g/cm<sup>2</sup>)とする)と接触しているとする。溶液滴の表面積を $A_1$ (cm<sup>2</sup>)、溶液滴と温度センサーとしてのサーミスタまたは熱電対との間の接触面積を $A_2$ (cm<sup>2</sup>)(一定)とする。

先ず、溶液滴とその周囲との間の熱収支を計算する。 $d n_o(t)/dt$ を溶媒蒸気の溶液滴への凝縮速度(mol/s)とすると、その凝縮に基づく伝熱速度 $d Q_1/dt$ (cal/s)、溶液滴と霧囲気蒸気との間の温度差( $T-T_o$ )に原因する熱放散速度 $d Q_2/dt$ (cal/s)、および溶液滴からサーミスタや熱電対への熱伝導速度 $d Q_3/dt$ (cal/s)はそれぞれ以下の式で与えられる。

$$dQ_1/dt = \Delta H(dn_o(t)/dt) \quad (1)$$

$$dQ_2/dt = k_1 A_1 (T - T_o) \quad (2)$$

$$dQ_3/dt = k_2 A_2 (T - T_o) \quad (3)$$

ここで、 $\Delta H$ は溶媒蒸気の凝縮熱(cal/mol),  $k_1$ ,  $k_2$ はそれぞれ液相/気相間および液相/固相間の表面伝熱係数(cal/cm<sup>2</sup>sK)である。(3)式を導びく際、導線の温

度は霧囲気蒸気のそれに等しいと仮定してある。

厳密には以下に述べるような発熱および吸熱変化が溶液滴 / 霧囲気蒸気系中で起るが、これ等は無視できる。

- 1) 温度  $T_0$  で溶液滴上に凝縮した溶媒が温度  $T$  にまで昇温するのに必要な熱損失
- 2) サーミスターの自己加熱による熱発生
- 3) 放射に基づく逸散
- 4) 凝縮した溶媒と溶液との間の混合熱

例えば、 $dQ_1/dt$ に対する 1), 3), 4) 項の寄与の程度は、

- i)  $\Delta H = 7 \times 10^3$  (cal/mol), 定圧比熱  $c_p = 0.4$  (cal/g K) とおくと 1) 項の寄与は  $3 \times 10^{-5}$  % 以下
- ii)  $d n_o(t)/dt$  の実測値を利用すると、3) 項の寄与は  $1 \times 10^{-12}$  % 以下
- iii) 微分稀釈熱として 10 (cal/mol) と仮定すると、4) 項の寄与は  $2 \times 10^{-2}$  % 以下、100 (cal/mol) と仮定しても、 $2 \times 10^{-1}$  % 以下

今問題にしている溶液滴の熱収支を考慮すると、液滴の温度変化  $dT/dt$  は(1)~(3)式を利用すると、次のような形で書ける。

$$dT/dt = \frac{1}{c_p V \rho} \{ (d n_o(t)/dt) \Delta H - (k_1 A_1 + k_2 A_2)(T - T_0) \} \quad (4)$$

ここで、 $V$  (cm<sup>3</sup>) は溶液滴の体積、 $\rho$  (g/cm<sup>3</sup>) はその密度である。

溶媒蒸気が溶液滴の表面に凝縮する場合、蒸気相中の溶媒分子は拡散機構だけに基づいて(液滴表面に)移動すると考えてよい。とすると、 $d n_o(t)/dt$  は霧囲気純溶媒の飽和蒸気圧  $P_o(T_0)$  (g/cm<sup>3</sup>) と溶液滴中の溶媒の蒸気圧  $P(T)$  (g/cm<sup>3</sup>) との差に比例する。すなわち、

$$d n_o(t)/dt = k_s A_1 \{ P_o(T_0) - P(T) \} \quad (5)$$

ここで、 $k_s$  (mol/g s) は拡散の詳細な機構によって変化する物質移動係数である。例えば、溶媒蒸気分子だけが拡散して、空気は動かない場合で、しかも液滴の表層附近に境界膜(気体境膜と液膜)が生成する場合には(5)式の  $k_s$  は次式で与えられる。

$$k_s = \{ [RT_0 t_g (P_n - P_o(t_0)) / D_g P_n] + (t_l / HD_l) \}^{-1} \quad (6)$$

ここで、 $R$  は気体定数、 $D_g$  (cm<sup>2</sup>/s)、 $D_l$  (cm<sup>2</sup>/s) は気体の拡散係数と液相中の相互拡散係数、 $t_g$  と  $t_l$  は気体境膜および液膜の厚さ(cm)、 $P_n$  は全外圧(g/cm<sup>3</sup>)、 $H$  は溶解度係数である。

$k_s$  を市販のVPO装置Mechrolab 302型を改良して測定した上出・真田の結果<sup>6)</sup>を図2に示す。 $k_s$  は溶媒蒸気圧  $P_o(T_0)$  が大きくなるほど大きい。この実験事実は、等モル拡散よりも一方拡散機構((6)式参照)を支持する。ベ

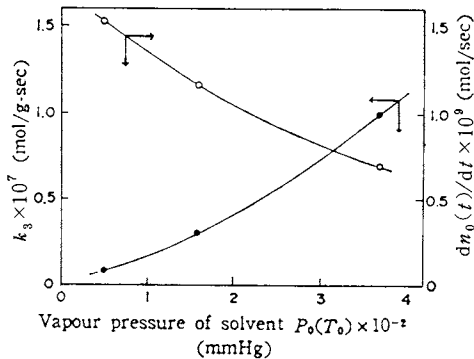


図2 溶媒蒸気の物質移動係数  $k_s$  の蒸気圧依存性<sup>6)</sup>  
ベンジル / テルエン系、37°C

ンジル / ベンゼン系では  $P_o(T_0) = 310\text{K} = 281.5\text{ (g/cm}^3)$ 、 $\Delta H = 7.937 \times 10^3$  (cal/g)、 $M_1 = 210.24$  において、 $A_1$ 、 $d n_o(t)/dt$  と  $(T - T_0)_s$  (添字 s は定常値) を、(5)式と後述の(9)式から導いた次式

$$k_s = \frac{d n_o(t)/dt}{P_o(T_0) A_1 [1 - a_o \{ 1 + \frac{\Delta H}{RT_0^2} (T - T_0)_s \}]} \quad (7)$$

に代入すると、 $k_s = 5.03 \times 10^{-8}$  (mol/g s) が得られる。

温度  $T$  における純溶媒の蒸気圧  $P_o(T)$  と溶液の蒸気圧  $P(T)$  との間には

$$P(T) = a_o P_o(T) \quad (8)$$

が成立する。溶液滴の温度  $T$  は溶媒滴のそれ  $T_0$  に非常に接近していることを考慮して、 $P_o(T)$  を  $T_0$  のまわりで Taylor 展開し、かつ Clausius-Clapeyron の関係を利用して(7)式を書き改めると、

$$P(T) = a_o P_o(T_0) [1 + (\Delta H/RT_0^2)(T - T_0) + \frac{1}{2} (\Delta H/RT_0^2) \{ (\Delta H/RT_0^2) - 2/T_0 \} (T - T_0)^2 + \dots] \quad (9)$$

結局、(4)式は(5)式と(9)式を利用して次のように変形できる。

$$dT/dt = (c_p V \rho)^{-1} [k_s A_1 \{ 1 - a_o (1 + \frac{\Delta H}{RT_0^2} (T - T_0) - \frac{1}{2} \frac{\Delta H}{RT_0^2} (\frac{\Delta H}{RT_0^2} - \frac{2}{T_0}) (T - T_0)^2) \} P_o(T_0) \Delta H - (k_1 A_1 + k_2 A_2)(T - T_0)] \quad (10)$$

(10)式は溶液滴の温度の経時変化を表す一般式で、これがVPO理論の基礎式になる。

## 2.2 温度差の平衡値と定常値

(8)式の活動度  $a_o$  を濃度  $c$  (g/cm<sup>3</sup>) の virial 展開の形で書くと<sup>8)</sup>、

$$a_o = 1 - V_o \left\{ \left( c/M_1 \right) + \left( A_{2,o} - \frac{1}{2} \frac{V_o}{M_1^2} \right) c^2 + \left( A_{3,o} - A_{2,o} \frac{V_o}{M_1} + \frac{1}{6} \frac{V_o^2}{M_1^3} \right) c^3 + \dots \right\} \quad (11)$$

ここで、 $V_o$ (cm<sup>3</sup>/mol)は溶媒のモル体積、 $M_1$ は溶質の分子量、 $A_{2,o}$ (mol cm<sup>3</sup>/g<sup>2</sup>)と $A_{3,o}$ (mol cm<sup>6</sup>/g<sup>3</sup>)は浸透圧第2、第3ビリアル係数であって、(11)式で与えられる。

$$\pi = RT \left( c/M_1 + A_{2,o} c^2 + A_{3,o} c^3 + \dots \right) \quad (12)$$

ここで、 $\pi$ は浸透圧(g/cm<sup>2</sup>)である。

溶媒蒸気の凝縮に基づく溶液滴の濃度、体積および密度の変化が無視できるならば、 $dT/dt = 0$ が実現する。これは一種の“定常状態(Steady state)”であって、決して平衡状態(equilibrium state)ではない。両者の区別が大切である。今後定常状態を表わす際には添字sを付ける。厳密に言うと、低分子化合物溶液では濃度の経時変化は無視できる位小さくない。その場合には、 $dT/dt = 0$ も実現しない。

定常状態における温度差( $T - T_o$ )<sub>s</sub>は(10)、(11)式より計算できる。結果は(13)式のようになる。

$$(T - T_o)_s = K_s \left( c/M_1 + A_{2,v} c^2 + A_{3,v} c^3 + \dots \right) \quad (13)$$

ここで、

$$K_s = \frac{K_e}{1 + \frac{k_1 A_1 + k_2 A_2}{k_s A_1} \frac{RT_o^2}{P_o(T_o) \Delta H^2}} \quad (14)$$

$$K_e = \frac{RT_o^2 V_o}{\Delta H} \quad (15)$$

$K_s$ は溶質、溶媒の性質や装置の形、大きさ、雰囲気などによって変化する較正係数である。 $A_{2,v}$ と $A_{3,v}$ はVPO法の第2、第3ビリアル係数である。 $K_s$ を装置定数と呼ぶ場合もあるが、(14)式より明らかのように、装置的要因以外に溶媒によって当然変化するから、装置に固有な定数とはなり得ない。もし、 $K_s$ が溶質分子量によって変化するならば、それは(14)式の $k_s$ 、したがって $D_t$ [(6)式参照]が溶質分子量依存性を持つためである。

(14)式のうち、 $(k_1 A_1 + k_2 A_2) RT_o^2 / (k_s A_1 P_o(T_o) \Delta H^2)$ は常に正であって、この項が平衡状態と定常状態の間に相当する。このように、 $K_s$ は $K_e$ よりも常に小さくなる。熱放散が全く存在しなければ(これは理論的にもあり得ないが)、 $k_1 = k_2 = 0$ となるから、 $K_s = K_e$ が得られる。結局、 $K_e$ は熱力学的平衡状態が達成されると仮定した際に得られる較正係数で、これは溶媒の性質だけに関係して、装置的要因は全く寄与しない点に注意すべきである。(14)式はIyengar(原報(1)式)<sup>9)</sup>やvan Dam(原報(6)式)<sup>10)</sup>らの理論式を特殊解として含む一般式である。

$(T - T_o)_s$ 対 $c$ プロットの $c \rightarrow 0$ の切片より $K_s/M_1$ 、し

たがって、 $K_s$ が予め知られているならば、溶質の分子量 $M_1$ が決定される。実験例を図3に示す。溶質が多分子性を持つ場合には $M_1$ は数平均分子量 $M_n$ になる。 $K_s$ は理論的には(14)式を利用して独立に計算できるはずである。しかし、現実には式を構成する全部のパラメータが既知ということはない。そのため、分子量既知の標準物質について予め $K_s$ を実験的に評価しておく。図3に例示するように、同一試料でも装置によって低濃度側で直線からずれことがある<sup>11)</sup>。また、高分子試料内に低分子量成分(不純物を含む)が含まれると同様な現象が起ることがある(図4)<sup>12)</sup>。だから、図3の黒点のようなプロットを直ちに溶質の会合現象に結びつける<sup>13)</sup>のは危険である。

$(T - T_o)_s$ は直接 $a_o$ に関係する((10)式で、 $dT/dt =$

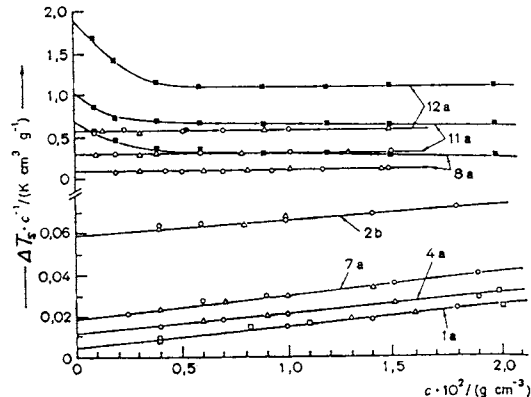


図3 定常状態における温度差 $\Delta T_s$ (=  $(T - T_o)_s$ )と濃度 $c$ との比対 $c$ プロットの例<sup>11)</sup>

ポリスチレン標準試料/ベンゼン系; □, ○, △は上出らの試作したVPO(40°C), ■はMechrolab 302型による測定結果(37°C), 図中の番号は試料No.

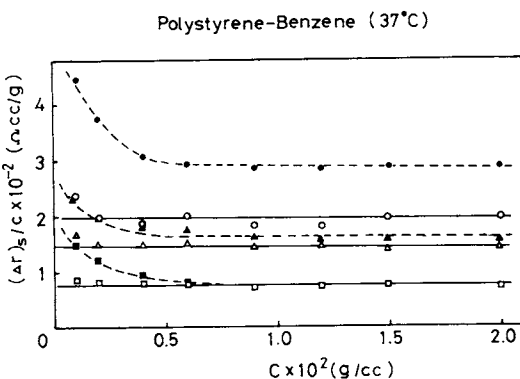


図4 ポリスチレン-ベンゼン系(37°C)の $(\Delta r)_s/c$ 対 $c$ プロット<sup>12)</sup>

○, △, □はポリスチレン精製物;  
●, ▲, ■は未精製物

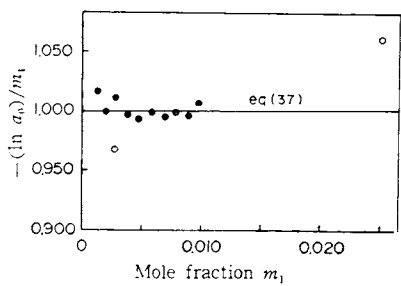


図 5  $m$ -ターフェニルのベンゼン溶液の $-(\ln a_0)/m_1$ 対 $m_1$ のプロット ( $m_1$ はモル分率)<sup>8)</sup>

●: VPO(稀釈効果を補正)<sup>8)</sup>, 37°C  
○: 蒸気圧直接測定法, 30°C<sup>14)</sup>

0とおいてみよ)。すなわち、溶媒の $P_o(T_o)$ 、 $\Delta H$ および測定温度 $T_o$ が与えられ、その上 $(k_1 A_1 + k_2 A_2)/k_s A_1$ が既知ならば、 $(T-T_o)_s$ より $a_0$ を決定できる。図5にVPO法を利用して決定した $m$ -ターフェニルのベンゼン溶液の $a_0$ と、蒸気圧の直接測定法より得られた $a_0$ とを比較した一例<sup>8)</sup>を示す。図中の黒丸はVPO法の上出のデータ、白丸は直接測定法の藤代らのデータ<sup>14)</sup>であり、図中の実線は藤代らがより高濃度溶液のデータも含めて求めた実験式である。このように、VPOは低濃度領域の $a_0$ を迅速、正確に決定するのに好都合である。

$(T-T_o)_s$ は経時的に減少する場合が多い。このような経時変化は、溶媒蒸気の凝縮に基づく溶液滴の濃度低下として完全に説明できる。凝縮が無視できないならば、溶液調製時の濃度( $c_a$ とする)の代りに真の濃度 $c$ を利用する必要がある(後述)。

### 2.3 ピリアル係数

(13)式のピリアル係数 $A_{2,v}$ 、 $A_{3,v}$ は膜浸透圧法のピリアル係数 $A_{2,o}$ 、 $A_{3,o}$ と必ずしも一致しない。これ等の係数間には次のような関係が存在する<sup>6,7)</sup>。

$$A_{2,v} = A_{2,o} + \left(\frac{V_o}{M_1^2}\right) \left\{ \left(\frac{RT_o}{\Delta H} - \frac{1}{2}\right) \left(\frac{K_s}{K_e}\right)^2 + \frac{K_s}{K_e} - \frac{1}{2} \right\} \quad (16)$$

$$\begin{aligned} A_{3,v} &= A_{3,o} + 2A_{2,o} \left(\frac{V_o}{M_1}\right) \left\{ \left(\frac{RT_o}{\Delta H} - \frac{1}{2}\right) \left(\frac{K_s}{K_e}\right)^2 + \frac{K_s}{K_e} - \frac{1}{2} \right\} \\ &\quad + \left(\frac{V_o^2}{M_1^3}\right) \left\{ \left(\frac{RT_o}{\Delta H} - \frac{1}{2}\right) \left\{ 2 \left(\frac{RT_o}{\Delta H} - \frac{1}{2}\right) \left(\frac{K_s}{K_e}\right)^2 \right. \right. \\ &\quad \left. \left. - \frac{K_s}{K_e} - 2 \right\} \left(\frac{K_s}{K_e}\right)^2 - 2 \left(\frac{K_s}{K_e}\right)^3 + \left(\frac{K_s}{K_e}\right)^2 - \frac{K_s}{K_e} + \frac{1}{6} \right\} \end{aligned} \quad (17)$$

ただし、(17)式は一種の近似式である。

(16)式によれば $K_s/K_e = 1/\{1 + (2R_o T/\Delta H)^{1/2}\}$ 以外の場合には $A_{2,v}$ は $A_{2,o}$ に一致しない。 $K_s = K_e$ の場合には $(2R_o T/\Delta H)^{1/2} \ll 1$ が $A_{2,v} = A_{2,o}$ の条件である。(16)式

の第2項の大きさは溶質分子量 $M_1$ によって変化する。 $A_{3,v}$ と $A_{2,o}$ との差は $M_1 > 2 \times 10^3$ の領域では無視できる(溶媒、ベンゼン)。一般には、 $M_1 > (10^5/2)^{1/2} V_o^{1/2}$ ならば、 $A_{2,v} = A_{2,o}$ とみなしてよい。

$A_{2,v}$ を実験的に決定する際、溶液滴の濃度が溶媒蒸気の凝縮に伴って経時的に低下する効果の寄与を無視できない場合が多い。(13)式は、 $c$ の経時変化が全く無いとして導びかれた。上出、真田の系統的な研究<sup>6)</sup>によると、定常状態では溶液滴の体積増加率、したがって凝縮速度 $d n_o(t)/dt$ はほぼ一定となる。図6に溶液滴と溶媒滴の経時変化の一例を示す。視覚的にも溶液滴の体積増加が理解される。これは平衡状態が成立していないことを示す実験証拠の一つである。

初期濃度 $c_a$ と真の濃度(時刻 $t$ における濃度) $c$ との間

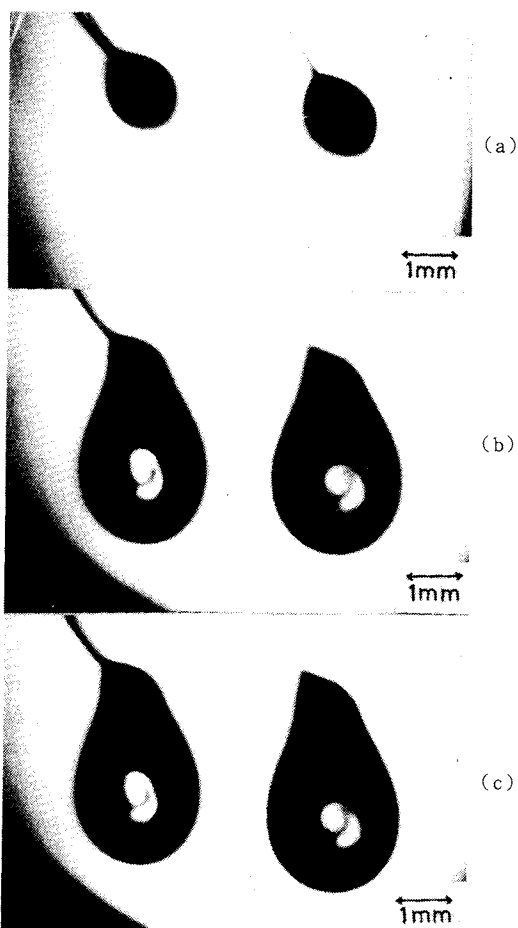


図 6 溶液滴と溶媒滴の経時変化(ベンジル/トルエン系, 37°C)<sup>6)</sup>

(a) サーミスター・ビーズ, (b) 左: 溶媒, 右: 溶液,  $t = 0$  min,  $c = 6.57 \times 10^{-3} \text{ g/cm}^3$ , (c) 左: 溶媒, 右: 溶液,  $t = 120$  min,  $c = 6.57 \times 10^{-3} \text{ g/cm}^3$

には

$$c = c_a (1 - k(t) c_a) \quad (18)$$

が実験的に成り立つ。ここで、 $k(t)$ (cm<sup>3</sup>/g)は溶質 / 溶媒系の性質、装置および測定時刻  $t$  に依存するパラメータである。一般には  $c$  の代りに  $c_a$  が利用されるから、(13)式は

$$(T - T_o)_s = K_s (c_a / M_1 + A_{2,v}' c_a^2 + A_{3,v}' c_a^3 + \dots) \quad (19)$$

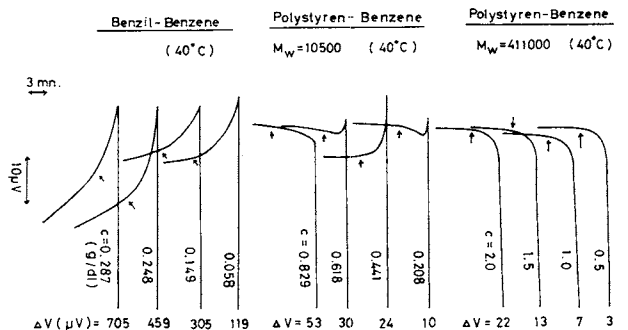


図 7  $(T - T_o)_s$  (図には  $\Delta V$  として表示) の経時変化<sup>12)</sup>

図中の矢印は定常状態に到達した場所

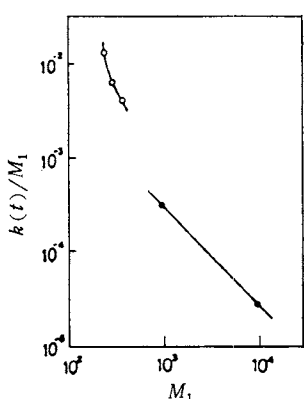


図 8 稀釈効果の補正項  $k(t)/M_1$  の  $M_1$  依存性<sup>7)</sup>

○:  $n$ -アルカン /  $n$ -ヘキサン (37°C)  
 ●: アタクチックポリスチレン / ベンゼン (37°C)  
 $t = 10$  min

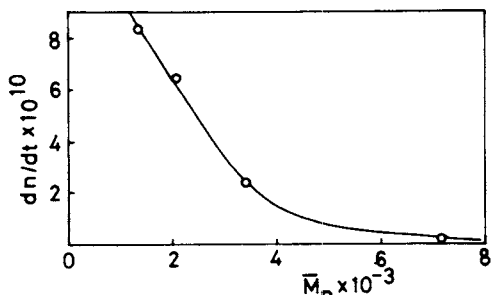


図 9 凝縮速度(mol/s)の溶質分子量依存性<sup>12)</sup>

ポリスチレン / ベンゼン系, 37°C,  $c = 2 \times 10^{-2}$  (g/cm<sup>3</sup>)

ここで、

$$A_{2,v}' = A_{2,v} - k(t)/M_1 \quad (20)$$

$$A_{3,v}' = A_{3,v} - 2A_{2,v}k(t) \quad (21)$$

$A_{2,v}'$ ,  $A_{3,v}'$  は見かけのビリアル係数である。

$(T - T_o)_s$  の経時変化は溶質分子量  $M_1$  が大きくなるほど小さくなる。この一例を図 7 に示す。後述するように、定常状態に達するのに必要な時間  $t_s$  は  $M_1$  に依存しない。だから(20)式の補正項  $k(t)/M_1$  は  $M_1$  の増加と共に急激に減少する(図 8)。 $M_1 > 10^4$  の高分子溶液系については  $A_{2,v}'$  への  $k(t)/M_1$  の寄与は無視できる。

同一初濃度で比較すると、凝縮速度  $dn_o(t)/dt$  は溶質の分子量が大きくなると減少する(図 9)。 $dn_o(t)/dt$  と  $(T - T_o)_s$  との間に(測定装置、温度、溶媒が同じであるという前提で)、 $c_a$ ,  $M_1$  に無関係にはほぼ直線関係が成り立つ。図 10 にポリスチレン / ベンゼン系(37°C)の測定例を示す。 $dn_o(t)/dt$  と  $(T - T_o)_s$  との間の直線関係は理論的にも

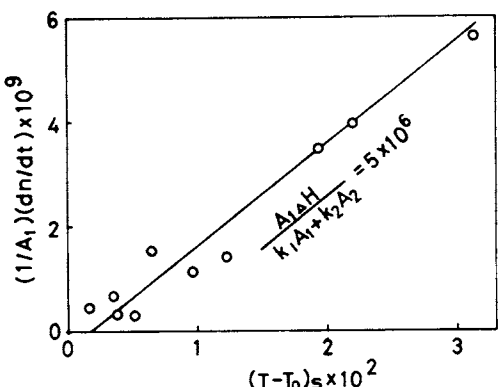


図 10 凝縮速度と定常状態における温度差との関係<sup>12)</sup>  
 ポリスチレン / ベンゼン系, 37°C

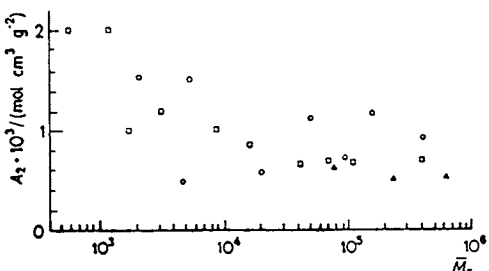


図 11 VPO法による第2ビリアル係数  $A_{2,v}$  と膜浸透圧法の第2ビリアル係数  $A_{2,v}$  の比較

ポリスチレン / ベンゼン系  
 ○, 上出ら, VPO, 40°C<sup>11)</sup>  
 ▲, IUPAC, 膜浸透圧, 25°C<sup>15)</sup>  
 □, Wachter, Simon, VPO, 30°C<sup>16)</sup>

## 蒸気圧浸透圧法

容易に導びかれる。 $(T-T_o)_s=0$ における切片の値 $-0.5 \times 10^9 (\text{mol/s cm}^2)$ は $(dT/T \cdot dt) (c_p V \rho / \Delta H)$ の理論値 $(-0.51 \times 10^{-9})$ に一致する。

図11にポリスチレンのベンゼン溶液の $A_{2,v}$ ,  $A_{2,o}$ の分子量依存性を示す。実験誤差および試料の相違を考慮すると、ほぼ満足すべき程度の一一致である。

### 2.4 霧囲気が不飽和の場合<sup>17)</sup>

今迄は溶液滴と溶媒滴が飽和溶媒蒸気相中に静置されているとみなして来た。VPO装置が正しい $M_1$ や $A_2$ を与える状態で作動しているかどうかは実験的には通常以下のような方法で検証される。2個のサーミスタまたは熱電対の両方に溶媒滴をつける。そして、定常状態に到達後両者の温度差 $\Delta T_s (= (T-T_o)_s)$ が0であるかどうかを確かめる。しかし、 $\Delta T_s = 0$ は霧囲気蒸気が完全に飽和していることの直接的証拠にはならない。いくつかのタイプの市販のVPO装置を利用して溶媒滴の体積の経時変化を測定してみると、溶媒滴の体積は徐々に減少する。図12にその一例を示す。図より明らかなように、溶媒滴の蒸気圧は霧囲気の蒸気圧よりも高い。いいかえると、霧囲気蒸気は普通は不飽和である。この事実は上述のVPO理論の根底の仮定の妥当性を否定する。霧囲気の蒸気圧を $P_o(T_s)$ と書くと、飽和度パラメータ $k'$ は次式で定義される。

$$P'_o(T_s) = k' P_o(T_s) \quad (22)$$

ここで、 $T_s$ は霧囲気の温度である。

今、純溶媒の温度を $T_v$ (K)、溶液滴のそれを $T_n$ (K)とすると、両者の間の温度差の定常値 $(T_n - T_v)_s$ は(23)式で与えられる。

$$(T_n - T_v)_s = (K_s^2 / K_e) \{ c/M_1 + A_{2,v} c^2 + \dots \} \quad (23)$$

ここで、

$$K'_s = \frac{K_e}{k' + \left( \frac{RT_s^2}{\Delta H} \right) \left( \frac{k_1 A_1 + k_2 A_2}{k_3 A_1 P_o(T_s) \Delta H} \right)} \quad (24)$$

もし、 $k' \leq 1$ ならば、

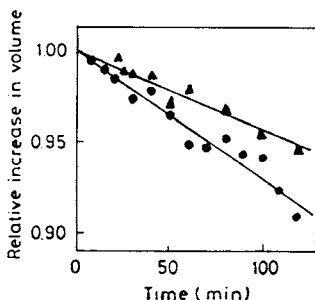


図12 溶媒蒸気の霧囲気下におかれた溶媒滴の体積変化<sup>17)</sup>

37°C, ▲; ベンゼン, ●; n-ヘキサン

$$K_e \geq K'_s \geq K_s \quad (25)$$

または

$$K_e \geq K_s \geq (K_s^2 / K_e) \quad (26)$$

が成り立つ。後で定義する測定効率 $(K_s^2 / K_e) / K_e$ は飽和度 $k'$ が減少するにつれて直線的に減少する。 $k' = 1$ ならば、(23)式は(13)式に一致する。 $k'$ を正確に決定するためには $P'_o(T_s)$ を直接測定しなくてはならない。しかし、 $k'$ の範囲は理論的に予測できる。

$$1 \geq k' \geq a_o \left[ 1 + \left( \frac{\Delta H}{RT_s^2} \right) (T_n - T_s) \right] \quad (27)$$

(27)式において、 $a_o = 0.99$ ,  $\Delta H = 8 \times 10^3 (\text{cal/mol})$ ,  $T_s = 300 \text{ K}$ ,  $(T_n - T_s) = 1 \times 10^{-3} (\text{K})$ とおくと、

$$1 \geq k' \geq 0.990 \quad (28)$$

このように、 $k'$ は一般に1.000に非常に接近しているから、 $(K_s^2 / K_e)$ と $K_s$ との差は実験誤差範囲内である。このように、現実の実験装置では溶媒蒸気は不飽和である場合が多いが、飽和とした理論で解析してもよい。

### 2.5 多成分系<sup>18)</sup>

高分子電解質溶液には一定量の分子量既知の溶質を、高分子電解質(その分子量をVPOによって測定しようとするわけである)の解離を防ぐために、添加される。この場合には溶質(B)/溶質(C)/溶媒(A)の3成分系になる。較正係数の物理的意味は上出・藤代によって明らかにされている。ある条件下では、近似的に2成分系として実験データを解析してもよい。

## 3. 測定感度

### 3.1 測定の効率と感度

定常状態と平衡状態の温度差の比 $(T-T_o)_s / (T-T_o)_e$ は(14)式を変形すると直ちに与えられる。

$$\frac{(T-T_o)_s}{(T-T_o)_e} = \frac{K_s}{K_e} = \frac{1}{1 + \frac{k_1 A_1 + k_2 A_2}{k_3 A_1} \frac{RT_o^2}{P_o(T_o) \Delta H^2}} \quad (29)$$

比 $K_s / K_e$ を測定の効率のパラメータとみなしてよい。

効率を高くするためには、1)液滴を大きくする、2)低温で測定する、3)凝縮熱の大きい溶媒を利用する、4)蒸気圧の大きい溶媒を利用する、などが必要である。ただし、測定の効率は測定の感度ではないことに注意すべきである。測定値の精度を向上させるためには測定感度を良くしなければならない。

### 3.2 溶媒の蒸気圧

図13にベンジルおよび尿素の各種溶媒中の $K_s$ の実測値と理論値 $K_e$ との比の溶媒蒸気圧依存性を示す。図中の実線は装置的因子 $(k_1 A_1 + k_2 A_2) / k_3 A_1$ と $\Delta H$ との比を適宜に仮定して(14)式から計算した曲線である。 $P_o(T_o)$

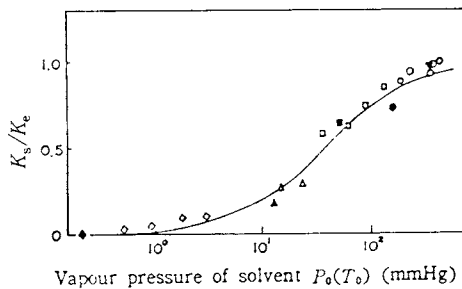


図 13 測定の効率  $K_s/K_e$  の溶媒の蒸気圧  $P_o(T_o)$  依存性<sup>6)</sup>

白ぬき印；日立 115 型，黒印；Mechrolab 302 型，◆：ベンジル-m-クレゾール，◇：尿素-m-クレゾール，△：ベンジル-1,1,2,2-四塩化エタン，□，■：ベンジルトルエン，○，●：ベンジル-ベンゼン，▲：ベンジルアセトン，—：(14)式， $\Delta H = 1 \times 10^4$  (cal/mol)， $(k_1 A_1 + k_2 A_2)/k_3 A_1 = 3 \times 10^4$  (cal g/mol cm<sup>2</sup> K)

の大きい領域で実験データが理論曲線の上にずれるのは、比  $(k_1 A_1 + k_2 A_2)/k_3 A_1$  が  $P_o(T_o)$  の大きい溶媒ほど小さくなるためである。このように、実験データは理論的予測とかなり良く一致する。

### 3.3 全外圧

(5)式の係数  $k_3$  は、例えば(6)式で与えられる。(6)式からも明らかなように、 $k_3$  は全外圧  $P_n$  の影響を受ける  $D_g$  がほぼ  $P_n^{-1}$  に比例することを考慮すれば容易に理解される。 $P_n$  が減少すれば、 $D_g$  が増加し、 $(P_n - P_o(T_o))/P_n$  も増加する。したがって、 $P_n$  が減少すると、 $k_3$  は増加する。この際、 $P_n$  の減少に伴って  $k_1$  が同時に増加する。

$k_3$  として一方拡散を仮定した場合の  $K_s$  に及ぼす全外圧の効果を(6)式から計算すると、図 14を得る。この場合、 $k_1$  は全外圧に無関係であると仮定した。図では  $P_n = 760$

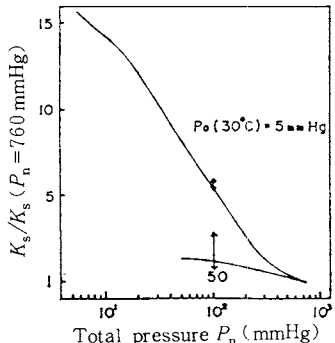


図 14 比  $K_s(P_n)/K_s(P_n=760 \text{ mmHg})$  と全外圧  $P_n$  との理論的関係<sup>6)</sup>

↑ : 実験データ<sup>19)</sup> ( $P_n = 100 \text{ mmHg}$  と仮定)  
 $k_3 (760 \text{ mmHg}) = 7 \times 10^{-7} (\text{mol/g s})$   
 $(RT_o t_g)/(D_g P_n) = 1.9 \times 10^3$   
 $(k_1 A_1 + k_2 A_2)/k_3 A_1 = 3 \times 10^4 (\text{cal g/mol cm}^2 \text{ K})$   
 $T_o = 300 (\text{K})$

mmHgにおける  $K_s (P_n = 760 \text{ mmHg})$  に対する比率を尺度としてある。 $P_o(T_o)$  の小さな溶媒ほど、 $P_n$  を減少させることによって  $K_s$  が著しく大きくなる。

### 3.4 液滴の大きさ

液滴の形状を半径  $r'$  (cm) の球状と近似して、 $(T - T_o)_s$  の半径依存性を計算すると、

$$\partial \Delta T_s / \partial r' = \frac{8\pi r' k_2 k_3 A_2 \Delta H P_c (T_o) a_o}{k_1 A_1 + k_2 A_2 + \frac{k_3 A_1 P_o (T_o) \Delta H^2}{R T_o^2}} \geq 0 \quad (30)$$

サーミスタへの伝熱が無視できる場合 ( $k_2 = 0$ ) には  $(T - T_o)_s$ 、したがって  $K_s$  は液滴の大きさに依存しない。サーミスタへの伝熱が無視できない場合には、程度の差はあっても液滴が大きいほど、 $(T - T_o)_s$  は大きくなる。この結論は液滴の形状を変えても(例えば、円筒形) 变らない。

実験的に溶液滴の体積を約 2 倍まで変化させても  $(T - T_o)_s$  は、溶液濃度が低いとはとんど一定である。この一例を図 15 に示す。逆にいふと、事実より使用した実験装置の  $k_1/k_2 = 10^{-1} \sim 1$  であると推定される。Simon ら<sup>20)</sup> も同様な結果を得ている。Morris<sup>21)</sup> はスクワレンのトルエン溶液の  $\Delta T$  の経時変化に及ぼす液滴の大きさの効果を調べ、比較的高濃度溶液では、液滴が小さいほど  $\Delta T$  が時間の経過につれて著しく低下することを認めた。これは凝縮に原因する濃度変化が液滴が小さいほど大きいいためである。

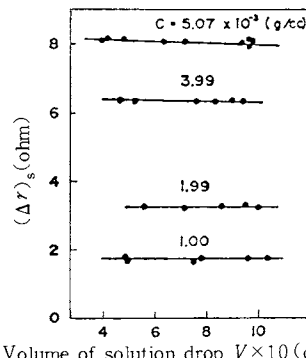


図 15 ベンジルトルエン系 37°C における液滴の大きさ  $V$  の温度差( $\Delta T$ )の定常値に及ぼす効果(Mechrolab 302)<sup>6)</sup>

### 3.5 溶媒の凝縮熱<sup>6)</sup>

熱力学的平衡状態が取りに実現すれば、温度差  $(T - T_o)_s$  は溶媒の凝縮熱  $\Delta H$  に反比例するはずである[(15)式参照]。しかし、定常状態では  $(T - T_o)_s$  の  $\Delta H$  の依存性は  $\Delta H$  の臨界値  $\Delta H^*$  を境いに変化する。ここで、 $\Delta H^*$  は  $\partial K_s / \partial \Delta H = 0$  を満足する  $\Delta H$  の値と定義する。

$$\Delta H < \Delta H^* \text{ならば}, \partial K_s / \partial \Delta H > 0$$

$$\Delta H > \Delta H^* \text{ならば}, \partial K_s / \partial \Delta H < 0$$

$$\Delta H^* = \left\{ \frac{RT_o^2(k_1 A_1 + k_2 A_2)}{k_3 A_1 P_o(T_o)} \right\}^{1/2} \quad (31)$$

比  $(k_1 A_1 + k_2 A_2) / k_3 A_1$  が小さいほど、また  $P_o(T_o)$  が大きいほど  $\Delta H^*$  は小さくなる。溶媒の蒸気圧が 20~200 mmHg 程度ならば、 $\Delta H^*$  は  $5 \times 10^3 \sim 15 \times 10^3$  (cal/mol) となる。

### 3.6 定常状態に達するのに必要な時間<sup>6, 11)</sup>

(4)式より定常状態に達するのに必要な時間  $t_s$  が導かれる。

$$t_s = - \frac{c_p V o}{C_2} \ln \frac{C_2 \delta T}{C_1 + C_2 (T_o - T_i)} \quad (32)$$

ここで、

$$C_1 = k_3 A_1 (1 - a_o) P_o(T_o) \Delta H \quad (33)$$

$$C_2 = k_1 A_1 + k_2 A_2 + \{k_3 A_1 P_o(T_o) \Delta H^2 a_o\} / (R T_o^2) \quad (34)$$

$T_i$  は溶液滴をサーミスタについた時の温度、 $\delta T$  はVPO 装置が検出可能な最小温度差(上出らの装置および日立 117 型では、 $5.96 \times 10^{-6}$  °C)。(32)式は次のようにも書きなおせる。

$$t_s = - \frac{c_p V o}{C_2} \ln \left( \frac{1}{K_s} - \frac{1}{K_e} \right) \frac{V_o}{1 - a_o} \delta T \quad (35)$$

$(T - T_o)$  は一般に最初急激に時間的に変化し、徐々に定常値に近づく。従って、ある一定の  $d\Delta T/dt$  に達するのに要する時間、または  $d\Delta T/dt$  が一定となるに必要な時間を  $t_s$  の目安と考えてよい。実験的には  $d\Delta T/dt = 6 \times 10^{-8}$  (°C/s) に達すればよい。

(32)式の対数の項は  $P_o(T_o)$  が 1~200 mmHg 変化しても、わずか 2 倍程度しか変化しない。 $C_2$  の第 1 項と第 2 項はそれぞれ  $10^{-4}$  であるのに対し、第 3 項は約  $10^{-6}$   $P_o(T_o)$  である。 $P_o(T_o)$  の小さな溶媒を利用するとき、 $t_s$  が大きくなることが理論的に予測される。この予測は

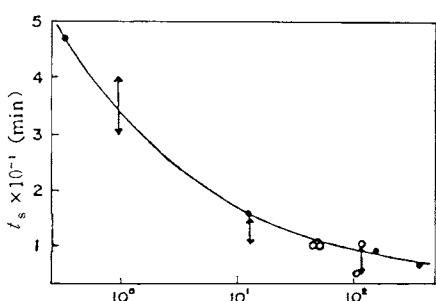


図 16  $t_s$  の  $P_o(T_o)$  依存性の実験的関係<sup>6)</sup>

● : 上出・真田<sup>6)</sup>, ↑ : Higuchi ら<sup>19)</sup>, ○ : Wilson ら<sup>22)</sup>,

Higuchi ら<sup>19)</sup>, Wilson ら<sup>22)</sup>, 上出・真田<sup>6)</sup>の実験によって定性的には認められている(図 16)。

(35)式より溶質の分子量  $M_n$  の増加と共に  $t_s$  は減少することが予想される( $a_o$  を一定と仮定すると)。ポリスチレン/ベンゼン系の実験例では  $t_s$  は  $M_n$  にほとんど無関係か、やや  $M_n$  と共に漸増する傾向を示す<sup>11)</sup>。

## 4. 測定装置

### 4.1 装置の構成

VPO は少なくとも 1950 年代まではすべて研究者自身によって試作された。図 17 に代表的な装置の数例を示す。現在では特殊な目的を除いて、測定装置を試作するのはあまり効果的ではないし、市販装置よりも高性能のものを試作するのは容易ではない。

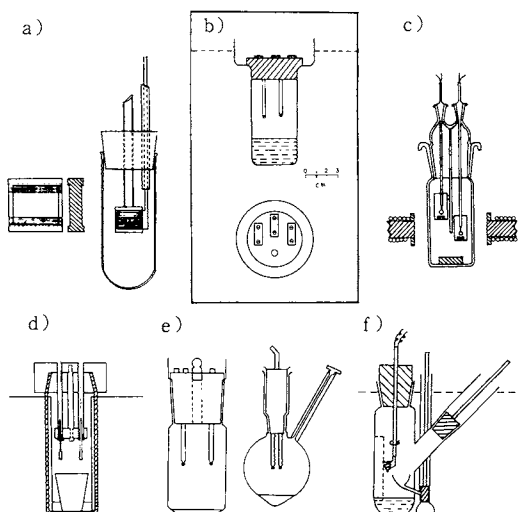
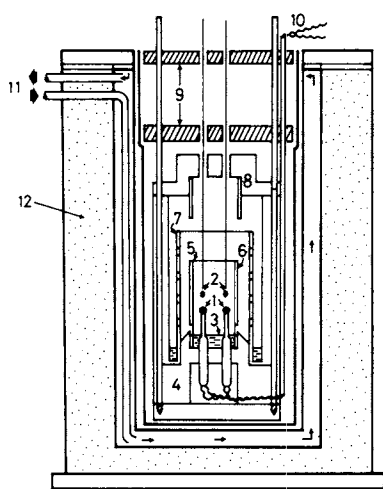


図 17 VPO 装置

a) Hill(1930)<sup>2)</sup>, b) Iyengar(1954)<sup>9)</sup>,  
c) Higuchi ら(1959)<sup>19)</sup>, d) Neumayer(1959)<sup>23)</sup>,  
e) Tomlinson(1961)<sup>24)</sup>, f) van Dam(1964)<sup>10)</sup>

現在、 $M_n > 10^4$  の高分子化合物の分子量測定に利用できるのは日立分子量測定装置 117 型だけである。 $M_n \sim 10^{-4}$  程度の試料の分子量測定には日立 115 型、Mechrolab 302 型(生産中止)、Knauer などがある。

VPO 装置は基本的には(1)温度計としての、ガラスで被覆した 2 個のサーミスタ(その先端にそれぞれ溶液滴と溶媒滴を添加する)、(2)セル(その中に飽和蒸気を満たす)、(3)溶媒槽(セルの下部につける)、(4)試料室(溶液、溶媒を保温)、(5)増幅部、(6)恒温槽、より構成される。代表的な市販装置としての日立 117 型の概要を図 18 に示す。サーミスタの霧開気蒸気の  $P_o(T_o)$  および  $T_o$  をいかに安定に保つかがポイントになる。そのため



1. サーミスタ 2. 滴下パイプ 3. 溶媒溜 4. ガスケットリング 5. 沢紙 6. 内側キャップ 7. 沢紙キャップ 8. 外側キャップ 9. 試料室 10. リード線  
11. 恒温水 12. 断熱材

図 18 日立 117 型 VPO 断面図

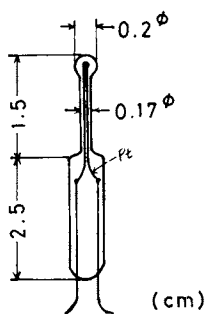


図 19 立上り方式のサーミスタ

の工夫が市販装置ではいろいろ工夫されている。

サーミスタの固定方法として吊り下げ方式(suspension type)と立上り方式(stand-up type)がある。図19に立上り方式のサーミスタを示す。後者は液量を一定に保つことができ、液量自体が極めて少量ですむ特長を持つ、この反面、表面積/体積比が大きいため、稀釀効果が大きい欠点もある。サーミスタの頂部に白金製のリングまたは網をかぶせて液量をより一定に保持するように工夫されている。図18のキャップ6, 8は溶媒によって腐食される場合には、キャップを全ガラス製<sup>26)</sup>にしたり、金製または金メッキ製<sup>26)</sup>にするのも効果的である。

#### 4.2 測温回路

サーミスタの抵抗 $R'$ (図4, 14では $R'$ の代りに $r$ で表示した)の温度変化は一般に(36)式に従う。

$$R' = R'_\infty \exp(B/T) \quad (36)$$

ここで、 $B$ はサーミスタ定数(K),  $R'_\infty$ は $T=\infty$ における

$R'$ である。2個のサーミスタの $B$ が等しい、すなわち $B_1=B_2$ を満足する(添字1, 2はサーミスタ1, 2の意味)2個のサーミスタが利用できるならば(これをmatched thermistorという),  $\Delta T \ll T_0$ の条件では $\Delta R'$ と $\Delta T$ との間には

$$\Delta T = -(T_0^2 / BR') \Delta R' \quad (37)$$

が成り立つ。したがって、サーミスタ対の抵抗値差 $\Delta R'$ を測定すれば、温度差が決定される。このために、日立115型, Mechrolab 301, 301A, 302などでは一般には図20に示すようなブリッジ回路が利用される。

$B_1=B_2$ の条件は実は非常に実現困難である。市販装置のサーミスタ対の抵抗には測定温度において $\pm 0.1\%$ (日立115型),  $\pm 0.25\%$ (Mechrolab 302型)の差がある。これがVPOによる測定可能な上限分子量( $\sim 10^4$ )を規定する。

サーミスタ対の $B$ の差を電気的に補償しようとする工夫がある。図21に改良されたブリッジ回路を示す<sup>6)</sup>。詳細は省略するが、図中のQP間の非平衡電位差 $\Delta V$ と温度差 $\Delta T$ との間には(38)式が成り立つ。

$$\Delta V = E \frac{R_3' R_1'}{(R_1' + R_3')^2} \frac{(-B_1)}{T^2} \Delta T \quad (38)$$

上出らの装置では、 $E=3.5\text{ V}$ ,  $R_1'=140\text{ k}\Omega$ ,  $R_3'=150\text{ k}\Omega$ ,  $B_1=3300$  (293K)であるので、 $\Delta T=-29.8\Delta V$ と

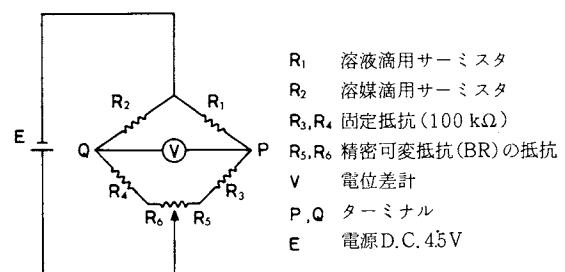


図 20 測温用ブリッジ回路

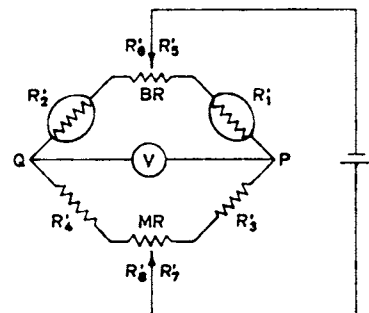


図 21 新しく改良されたブリッジ回路<sup>11)</sup>

$R_7'$ ,  $R_8'$ : マッチング抵抗MRの可変抵抗  
他の記号は図19と同じ意味を持つ。

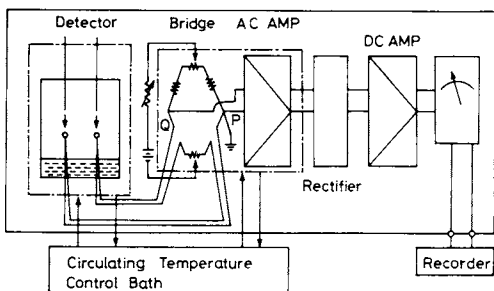


図22 HITACHI-117 Type VPO Block Diagram

なる。上出らの試作装置や日立117型では $\Delta V$ を $0.1 \mu\text{V}$ まで測定できる。

図22に試作装置(従って、基本的には日立117型に同じ)のブロックダイヤグラムを示す。この装置は $\pm 5.96 \times 10^{-6} \text{ }^\circ\text{C}$ の精度で測温可能である<sup>8)</sup>。Dohnerらの装置<sup>27)</sup>も $\pm 3.5 \times 10^{-6} \text{ }^\circ\text{C}$ の精度を持つといわれる。

日立115型、Mechrolab 302が最も測定効率[(29)式参照]が高く、Iyengarの自作装置は放熱が大きく、Mechrolab 301A型はその中間にいる。Mechrolab 302型のサーミスタに流れる電流を溶液の濃度に対応して変化させることによって稀釈効果を防ぐ工夫もある<sup>28)</sup>。

## 5. そ の 他

蒸気圧浸透圧法は微少な温度差( $10^{-4} \sim 10^{-6} \text{ }^\circ\text{C}$ )を正確に測定する装置である。従って、このためには装置の据付け場所にも充分配慮を払う必要がある。また、試料と溶媒の純度、試料の蒸気圧の程度も得られる結果に有意に影響する。基準物質も少なくとも試薬特級を数回再結晶化して精製する必要がある。温度差の定常値( $T - T_0$ )<sub>s</sub>を決定するため、数多くの方法が提案されている。 $(T - T_0)$ の時間変化を連続的に測定できるならば(日立115、117型)、 $(T - T_0)$ の時間変化が一定となるか、または非常に小さくなる状態を定常状態(正確には、凝定常状態)とみなすのが妥当である。較正係数 $K_s$ の決定法もまだ完全に確立したわけではなく、 $K_s$ が基準物質の $M_1$ によって変化する場合が溶媒によってはあるとの議論が最近でもなされている。上述の実験操作法やデータ解析法の詳細は成書<sup>29~32)</sup>を参照されたい。

アタクチックポリスチレンの標準試料(重量平均分子量と数平均分子量の比 $M_w/M_n$ が1.06以下)のベンゼン溶液の $M_n$ と $\lim_{c \rightarrow 0} (\Delta T_s/c)$ より $K_s$ を評価すると[(13)式参照]、 $K_s$ は $2 \times 10^3 \sim 4.11 \times 10^5$ の $M_n$ の範囲にわたってほぼ一定となる。逆に、ベンジルの $K_s$ 値を用いたり、 $K_s = 0.5 K_e$ と仮定して $M_n$ を計算すると、他の方法(膜浸透圧MO法など)より決定した $M_n$ と良く一致する。このことより、 $M_n$ 既知の同族体、ベンジルの $K_s$ 、または装

置の測定効率値より推定した $K_s$ のどれを(少なくともポリスチレンには)利用しても良いといえる<sup>11)</sup>。

VPOは主として $M_1 = 10^3 \sim 10^4$ の高分子量化合物の分子量測定に利用されて来た<sup>29, 32, 33)</sup>。最近開発された高感度VPOは更にもう一桁以上大きな分子量まで測定できる。例えば、上出らの装置では最高 $4 \times 10^5$ の分子量が測定された。相対誤差10%以下で測定可能な分子量の上限でも約 $10^6$ である。

以上、一個の液滴をめぐる各種の熱の出入りを、その液滴と雰囲気の温度差としていかに正確に測定し、この温度差を溶液の化学ポテンシャルにどの様に結びつけるかという、VPOの原理的側面を中心に紹介した。VPOは気体の液相への凝縮現象、気/液、液/固間の伝熱現象などを利用するが、これらの現象は残念ながらまだ充分には解明されたとはいえない。したがって、VPOの理論もまだ完全なものではない。例えば、本稿で用いた各種パラメータ、 $k_1$ 、 $k_2$ 、 $t_g$ 、 $t_l$ などの具体的な溶質/溶媒系に対する値は知られていない。

VPOは熱測定そのものであり、今後VPOの基礎に対する関心が高まることを期待したい。

## 文 献

- 1) W. W. Reed, *Chemical News*, Feb. 7, P64, 1913
- 2) A. V. Hill, *Proc. Roy. Soc. (London)* **A127**, 9 (1930)
- 3) E. J. Baldes, *J. Sci. Instr.* **11**, 223 (1934)
- 4) A. P. Brady, H. Huff, J. W. McBain, *J. Phys. & Colloid. Chem.* **55**, 304 (1951)
- 5) G. B. Taylor, M. B. Hall, *Anal. Chem.* **23**, 947 (1951)
- 6) 上出健二, 真田昌彦, 高分子化学, **24**, 751 (1967)
- 7) K. Kamide, K. Sugamiya, C. Nakayama, *Makromol. Chem.* **132**, 75 (1970)
- 8) K. Kamide, 高分子化学, **25**, 648 (1968)
- 9) R. Y. Iyengar, *Rec. Trav. Chim.* **73**, 789 (1954)
- 10) J. van Dam, *Recueil*, **83**, 129 (1964)
- 11) K. Kamide, T. Terakawa, H. Uchiki, *Makromol. Chem.* **177**, 1447 (1976)
- 12) 上出健二, 未発表結果
- 13) 例えば, H.-G. Elias, H. Lys, *Makromol. Chem.* **92**, 1 (1966); G. Adank, H.-G. Elias, *Makromol. Chem.* **102**, 151 (1967); H.-G. Elias, H. Dietschy, *Makromol. Chem.* **105**, 102 (1967)
- 14) F. Fujishiro, K. Furukawa, S. Takagi, *Bull. Chem. Soc., Japan* **41**, 1313 (1968)
- 15) International Union of Pure and Applied Chemistry, *J. polym. Sci.* **10**, 129 (1953)
- 16) A. H. Wachter, W. Simon, *Anal. Chem.* **41**,

- 90 (1969)
- 17) K. Kamide, K. Sugamiya, C. Nakayama, *Makromol. Chem.* **133**, 101 (1970)
  - 18) K. Kamide, R. Fujishiro, *Makromol. Chem.* **147**, 261 (1971)
  - 19) W. I. Higuchi, M. A. Schwatz, E. G. Rippie, T. Higuchi, *J. Phys. Chem.* **63**, 996 (1959)
  - 20) W. Simon, C. Tomlinson, *Chimica*, **14**, 301 (1960)
  - 21) C. E. M. Morris, *J. Appl. Polym. Sci.* **21**, 435 (1977)
  - 22) A. Wilson, L. Bini, R. Hofstader, *Anal. Chem.* **33**, 135 (1961)
  - 23) J. J. Neumayer, *Anal. Chim. Acta* **20**, 519 (1959)
  - 24) C. Tomlinson, *Mikrochim. Acta* **1961/3**, 457
  - 25) R. J. Farm, S. Bruckenstein, *Anal. Chem.* **40**, 1651 (1968)
  - 26) S.D. Bruck, H.E. Bair, *Polymer* **6**, 447 (1965)
  - 27) R. E. Dohner, A. H. Wachter, W. Simon, *Helv. Chim. Acta* **50**, 2193 (1967)
  - 28) B. H. Bersted, *J. Appl. Polym. Sci.* **17**, 1415 (1973)
  - 29) 上出健二, 高分子測定法上(高分子学会編), 培風館 (1973)
  - 30) 上出健二, 新実験化学講座 19, 高分子化学 II (日本化学会編), p.559, 丸善 (1978)
  - 31) 上出健二, 高分子実験学 1, 高分子実験学総論(高分子学会編), 2, 4, 共立出版 (1979)
  - 32) 上出健二, 高分子実験学 11, 高分子溶液(高分子学会編), 共立出版, 印刷中
  - 33) 上出健二, 高分子, **17**, 1144 (1968)

### 〈新刊書〉

G. Lombardi,  
**For Better Thermal Analysis, II Edition,**  
 International Confederation for Thermal Analysis, 1980  
 17×24 cm, 46 頁

この小冊子は ICTA (国際熱分析連合) の事業の 1 つとして, Prof. G. Lombardi (ローマ大学鉱物学・岩石学教室, 現 ICTA 副会長) によってまとめられたものである。初版は 1977 年に刊行され, 今回のは第 2 版である。

この本は, すでに熱分析を行なっている人あるいはこれから利用しようとする人に役立つようにとの配慮から編集されたもので, 内容は次の通りである。

1. 序言 2. ICTA とは何か? 3. 命名法 4. 標準

化および結果の報告 5. 热分析に関する出版物および単行本 (1937 年から 1979 年まで)

この中, 3, 4, 5 はそれぞれの専門委員会が長年にわたって調査, 検討した成果をまとめたものである。熱分析は非常に多くの異なる分野で利用されているため, ややもすると研究者間で用語やデータの報告様式に不統一があって不便な場合がしばしばある。本書の利用はこの点を除いてくれるに違いない。また, 5. はこれから熱分析を本格的に行なおうとする研究者や学生諸君にとって大変便利な参考資料となろう。

いずれにしろ, 本小冊子は熱分析を行なう人が常に手許においておくべきものであろう。

なお, 本書を希望される方は学会事務局まで 1 部 300 円 (切手も可) を添えて申込んで下さい。